



Estudio de Validación Tomográfica del Modelo MHD AWSoM

D.G. Lloveras¹, A.M. Vásquez¹, F.A. Nuevo¹, C. Mac Cormack¹, N. Sachdeva²,
W. Manchester IV², B. Van der Holst², & R.A. Frazin²

¹ *Instituto de Astronomía y Física del Espacio, CONICET-UBA, Argentina*

² *Climate and Space Sciences and Engineering, Universidad de Michigan, EEUU.*

Contacto / dlloveras@iafe.uba.ar

Resumen / Los modelos magnetohidrodinámicos (MHD) tridimensionales (3D) de la corona solar, necesarios para modelar y predecir el clima espacial, deben ser validados observacionalmente. A escala global, esto puede ser hecho mediante tomografía de medida de emisión diferencial (DEMT), que provee resultados 3D de densidad y temperatura electrónica en la baja corona ($1.0 - 1.25 R_{\odot}$). Realizamos una validación DEMT de la versión más reciente del Alfvén Wave Solar Model (AWSoM) del Space Weather Modeling Framework (SWMF). Se llevó a cabo un análisis comparativo a lo largo de las líneas de campo de la densidad y temperatura electrónicas del modelo y la tomografía. Para este estudio se seleccionaron dos rotaciones de mínimo solar, una entre los ciclos solares (SC) 23 y 24, y otra entre los SCs 24 y 25. Discutimos las diferencias observadas entre el modelo y los productos tomográficos, y las limitaciones y posibles mejoras futuras para el modelo AWSoM.

Abstract / The three-dimensional (3D) magnetohydrodynamic (MHD) models of the solar corona, necessary to model and predict space weather, must be validated observationally. On a global scale, this can be done using differential emission measure tomography (DEMT) technique, which provides 3D results of electron density and temperature in the low corona ($1.0 - 1.25 R_{\odot}$). We performed a DEMT validation of the most recent version of Alfvén Wave Solar Model (AWSoM) within the Space Weather Modeling Framework (SWMF). A comparative analysis is carried out along the field lines of the electronic density and temperature of the model and tomography. For this study two solar minimum rotations are selected, one between solar cycles (SC) 23 and 24 and another between SCs 24 and 25. We discuss the differences observed between the model and tomographic products and the limitations and possible improvements future for the AWSoM model.

Keywords / Sun: corona — Sun: fundamental parameters — Sun: UV radiation — Sun: abundances

1. Introducción

La observación y el modelado de la corona solar resulta de gran relevancia para el estudio de la relación Sol-Tierra, ya que es donde el viento solar es calentado, acelerado y tienen lugar eventos impulsivos como eyecciones coronales de masa, fulguraciones, etc. Predecir eventos de tiempo espacial y sus efectos geomagnéticos requiere modelos 3D de la atmósfera solar que se extiende desde la cromosfera, pasando por la corona, hasta la heliosfera. Estos modelos han evolucionado mucho a lo largo de los años, y conforme lo hacen necesitan ser validados mediante nuevas observaciones y análisis detallados.

En el presente trabajo nos focalizaremos en el modelo MHD 3D coronal y de viento solar Alfvén Wave Solar Model que forma parte del SWMF Tóth et al. (2012). El modelo utiliza calentamiento por ondas de Alfvén para proveer un modelo físico descriptivo 3D auto consistente de calentamiento coronal y aceleración de viento solar (Sokolov et al., 2013) (van der Holst et al., 2014).

A medida que el modelo es mejorado es necesario contrastar los resultados con observaciones. En una reciente publicación Sachdeva et al. (2019) llevaron a cabo una validación de la última versión del modelo para las rotaciones de Carrington (CRs) 2208 y 2209 con diferentes instrumentos espaciales, donde se calculó la diferencia relativa entre los resultados de AWSoM y DEMT a

distintas alturas heliocéntricas. Tanto para la densidad electrónica (N_e) como para la temperatura electrónica (T_e) los resultados de ambos modelos difieren en el rango $10 - 30\%$ en diferentes regiones coronales.

Debido a que la corona es gobernada por el campo magnético, resulta de particular interés analizar la termodinámica de líneas de campo asociadas a distintas estructuras magnéticas (Streamer, Agujero coronal, etc.). Con esta idea en mente presentamos en este trabajo el primer esfuerzo de validación del modelo AWSoM en la baja corona comparando la termodinámica con un modelo semi empírico (DEMT) seleccionando distintas estructuras magnéticas. Para esto se seleccionó la rotación CR2082 correspondiente al mínimo de actividad solar del 2009 y una rotación de la fase de declinación actual CR2208 (septiembre 2018).

2. Método

El modelo AWSoM utiliza un magnetograma sinóptico ADAPT-GONG (Arge et al., 2010) como condición de contorno. Como condición inicial utiliza el modelo potencial con superficie fuente y luego lo evoluciona en el tiempo (van der Holst et al., 2010). Permite obtener una estructura 3D de parámetros físicos (N_e y T_e entre otros) entre $1.0 R_{\odot}$ y 1 UA . La última versión del modelo presenta una región de transición extendida desde

la fotosfera hasta $\sim 1.05 R_{\odot}$, región que no se tuvo en cuenta en la comparación.

Por otro lado el modelo DENT utiliza como datos una serie temporal de imágenes EUV cubriendo media rotación solar permitiendo reconstruir la emisividad en forma 3D en la baja corona. Combinando la emisividad de todas las bandas del telescopio se obtiene la medida de emisión diferencial local y tomándole los momentos se obtiene la densidad y temperatura electrónica (Frazin et al., 2009).

En el presente trabajo se utilizaron imágenes obtenidas con STEREO/EUVI-A y SDO/AIA para CR2082 y CR2208 respectivamente. La selección es debido a que ambos períodos presentan baja actividad coronal, mostrando una corona con fuerte simetría axial y con agujeros coronales en la zona polar y un streamer dominante en las latitudes ecuatoriales. Para el procesamiento de imágenes y la reconstrucción tomográfica se aplicaron todos los procedimientos en su estado-del-arte, detallados en Lloveras et al. (2017).

Para llevar a cabo una comparación termodinámica a lo largo de líneas magnéticas se utilizó el campo dado por el modelo AWSoM. Para este fin se determina la geometría de las líneas de campo desde coordenadas específicas de un punto de partida tanto hacia el exterior como hacia el interior. Para muestrear uniformemente el volumen abarcado por las reconstrucciones DENT se seleccionó un punto de partida en el centro de cada celda de la grilla 3D a 6 alturas espaciadas uniformemente desde 1.02 a $1.25 R_{\odot}$. Cada línea de campo trazada se clasifica como abierta si cruza la superficie de origen establecida en $2.5 R_{\odot}$ (donde las líneas se vuelven radiales), o como cerrada en caso contrario. Luego los resultados termodinámicos de DENT y AWSoM son trazados a lo largo de las líneas de campo abiertas y cerradas dentro de la grilla 3D.

3. Resultados

Como ejemplo de los productos tomográficos y del modelo AWSoM, se muestra en la Figura 1 mapas latitud/longitud (a una altura dada) de la densidad y temperatura electrónicas, para las dos rotaciones seleccionadas. La línea negra sólida demarca la frontera entre las líneas magnéticas abiertas (asociada a los agujeros coronales) de las líneas cerradas (asociadas al cinturón ecuatorial de *Streamers*). En los mapas de DENT las celdas negras representan celdas no reconstruidas por la técnica y fueron excluidas del análisis.

Los arcos cerrados fueron separados en dos piernas desde la base hasta el ápice. Para cada pierna se ajustó el perfil de $N_e(r)$ utilizando un modelo hidrostático isotérmico (Ec. 5 de Lloveras et al. (2017)) y se determinaron los valores de densidad basal y escala de altura correspondientes. Los paneles izquierdos y medios de la Figura 2 muestran histogramas de estas dos cantidades para el modelo AWSoM y DENT en la región del streamer para las dos rotaciones estudiadas. El panel derecho de la Figura 2 muestra histogramas de la temperatura media a lo largo de la pierna.

Para clasificar a los arcos con temperatura creciente (decreciente) se consideró que el coeficiente de correla-

ción de Pearson entre la temperatura y la altura heliocéntrica fuese mayor a 0.5 (menor a -0.5). Dado que el modelo AWSoM presenta solo arcos con temperatura creciente, se seleccionaron solamente piernas donde $\rho > 0.5$ para las comparaciones estadísticas mostradas en la Figura 2.

AWSoM no modela apropiadamente el rango ($1.00 - 1.05 R_{\odot}$) debido a que considera una región de transición extendida. Dicho rango fue dejado fuera de la comparación. La Figura 2 muestra la distribución estadística de los resultados DENT y AWSoM en el streamer. La mediana de los histogramas de densidad basal y temperatura media difieren en menos de un 30 %, mientras que las medianas de los histogramas de escala de altura difieren en menos de un 5 % para las dos rotaciones estudiadas.

4. Discusión y trabajo futuro

El modelo AWSoM reproduce la simetría axial de las estructuras de streamer y agujero coronal de forma global. Es capaz de reproducir las estructuras magnéticas con temperatura creciente. Para estas estructuras se observan diferencias de la temperatura media menores al 30 %. Los ajustes en densidad presentan escalas de altura λ_n muy similares y diferencias en la densidad basal $N_e(r = 1.05 R_{\odot})$ menores al 30 % según la rotación modelada y es capaz de reproducir temperaturas crecientes en las estructuras magnéticas con una diferencia $< 30 \%$.

El análisis presentado en este trabajo muestra un avance en la capacidad del modelo AWSoM para reproducir la termodinámica de la baja corona descripta por la técnica DENT. Sin embargo, el modelo no logra reproducir arcos con temperaturas decrecientes, que son dominantes en la zona próxima al ecuador durante el mínimo de actividad solar (Nuevo et al., 2013). La incorporación de la conversión de modos de Alfvén en modos compresibles podría permitir que el modelo reproduzca estas estructuras (Schiff & Cranmer, 2016).

Próximamente se publicará una comparación más extensa y detallada de las cantidades termodinámicas y energéticas derivadas de DENT y el modelo AWSoM para estas dos rotaciones considerando subregiones del streamer y los agujeros coronales.

Referencias

- Arge C.N., et al., 2010, *AGU Fall Meeting Abstracts*, vol. 2010, SM51A-1749
- Frazin R.A., Vásquez A.M., Kamalabadi F., 2009, *ApJ*, 701, 547
- Lloveras D.G., et al., 2017, *SoPh*, 292, 153
- Lloveras D.G., et al., 2017, *Boletín de la Asociación Argentina de Astronomía La Plata Argentina*, 59, 145
- Nuevo F.A., et al., 2013, *ApJ*, 773, 9
- Sachdeva N., et al., 2019, *arXiv e-prints*, arXiv:1910.08110
- Schiff A.J., Cranmer S.R., 2016, *ApJ*, 831, 10
- Sokolov I.V., et al., 2013, *ApJ*, 764, 23
- Tóth G., et al., 2012, *Journal of Computational Physics*, 231, 870
- van der Holst B., et al., 2010, *ApJ*, 725, 1373
- van der Holst B., et al., 2014, *ApJ*, 782, 81

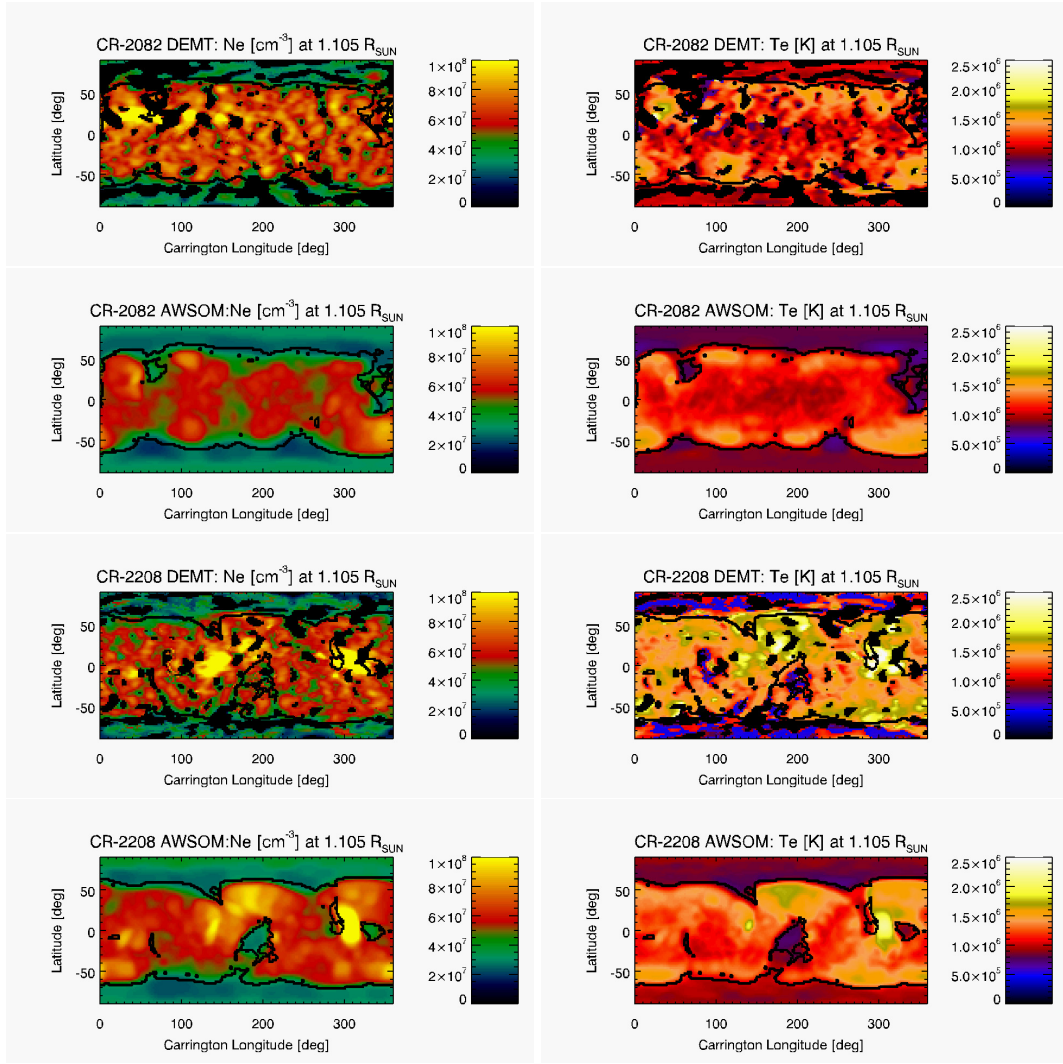


Figura 1: Mapas de Carrington de T_e (derecha) y N_e (izquierda) de CR-2082 y CR-2208 a $1.105 R_{\odot}$ obtenidas con DENT y con AWSOM. En los mapas tomográficos, las celdas negras corresponden a regiones no reconstruidas. En todos los paneles las curvas negras indican las fronteras entre las regiones magnéticas abiertas y cerradas (determinadas en base al modelo magnético de AWSOM).

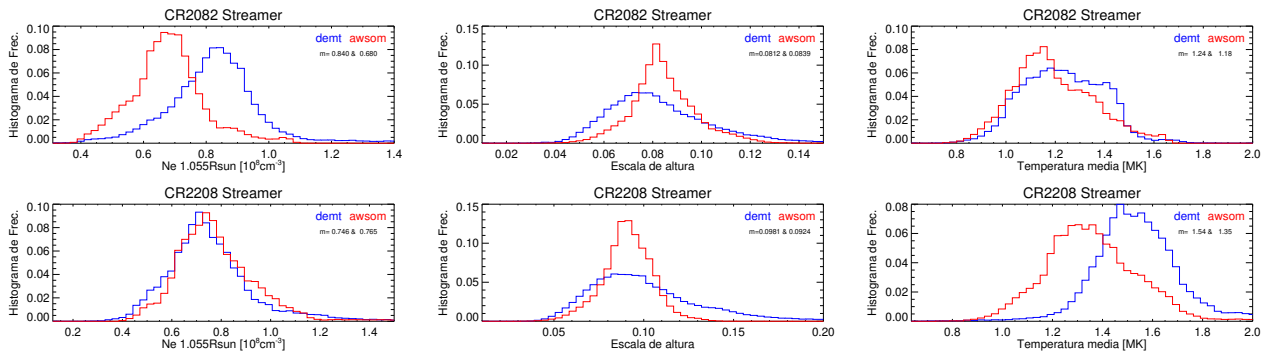


Figura 2: Histograma de frecuencia de CR-2082 y CR-2208 de N_e a $1.055 R_{\odot}$, escala de altura de la densidad electrónica y $\langle T_e \rangle$. En azul se muestran los resultados obtenidos con DENT y en rojo con AWSOM junto con la mediana de la respectiva estadística para la región del streamer.